

**COMPITO DI CONTROLLI AUTOMATICI**  
**Ingegneria dell'Informazione ed Elettronica**  
**10 Febbraio 2020**

**Esercizio 1.** [9 punti] Data

$$G(s) = \frac{s \left(1 + \frac{s}{10} + \frac{s^2}{100}\right)}{(1 + s^2) \left(1 + \frac{s}{10}\right)}$$

- i) si determini il diagramma di Bode (modulo e fase) della risposta in frequenza del sistema;
- ii) si determini il diagramma di Nyquist di  $G(j\omega)$  per  $\omega \in \mathbb{R}$  (non è richiesto il calcolo di eventuali asintoti ma è richiesto il calcolo delle eventuali intersezioni con gli assi);
- iii) si studi attraverso il criterio di Nyquist la stabilità BIBO del sistema retroazionato

$$W(s) = \frac{KG(s)}{1 + KG(s)},$$

al variare di  $K$  in  $\mathbb{R}$ ,  $K \neq 0$ , e in caso non sia BIBO stabile si determini il numero di poli a parte reale positiva e/o a parte reale nulla.

**Esercizio 2.** [9 punti] Data

$$G(s) = \frac{s^2 + 1}{(s - 1)(s + 1)^2(s + 2)}$$

si traccino, in modo approssimato, i luoghi positivo e negativo (con analisi di asintoti ed intersezioni con l'asse immaginario, ma senza calcolo esplicito dei punti doppi). Per capire l'andamento dei rami fuori dall'asse reale, e la collocazione di alcuni punti doppi, si utilizzi la tabella di Routh e si deduca la stabilità BIBO di  $W(s) = \frac{KG(s)}{1 + KG(s)}$  al variare di  $K$  reale, individuando, per i valori di  $K$  per cui la prima colonna della tabella non si annulla, il numero di poli a parte reale positiva.

**Esercizio 3.** [7 punti] i) Data la funzione di trasferimento

$$G(s) = \frac{s + 10}{s}$$

è richiesto il progetto di un controllore stabilizzante  $C(s)$  che attribuisca al risultante sistema retroazionato  $W(s)$  tipo 2 ed errore a regime alla rampa parabolica pari a circa 0.1, ed alla funzione di trasferimento in catena aperta  $C(s)G(s)$   $\omega_A \simeq 1$  rad/s,  $m_\phi \simeq 90^\circ$ .

ii) Data la funzione di trasferimento

$$G(s) = \frac{(s + 1)^2}{(s + 10)^2}$$

è richiesto il progetto di un controllore stabilizzante  $C(s)$  che attribuisca al risultante sistema retroazionato  $W(s)$  tipo 1 ed errore a regime alla rampa lineare pari a circa 0.1, ed alla funzione di trasferimento in catena aperta  $C(s)G(s)$   $\omega_A \simeq 100$  rad/s,  $m_\phi \simeq 90^\circ$ .

**Teoria.** [5+1 punti] Si consideri un modello ingresso/uscita LTI a tempo continuo causale, descritto da un'equazione differenziale lineare e a coefficienti costanti del tipo

$$a_n \frac{d^n y(t)}{dt^n} + a_{n-1} \frac{d^{n-1} y(t)}{dt^{n-1}} + \dots + a_0 y(t) = b_m \frac{d^m u(t)}{dt^m} + \dots + b_0 u(t),$$

( $a_n, b_m \neq 0$  e  $n \geq m$ ) e sollecitato dal segnale di ingresso

$$u(t) = e^{j\omega_0 t} \delta_{-1}(t),$$

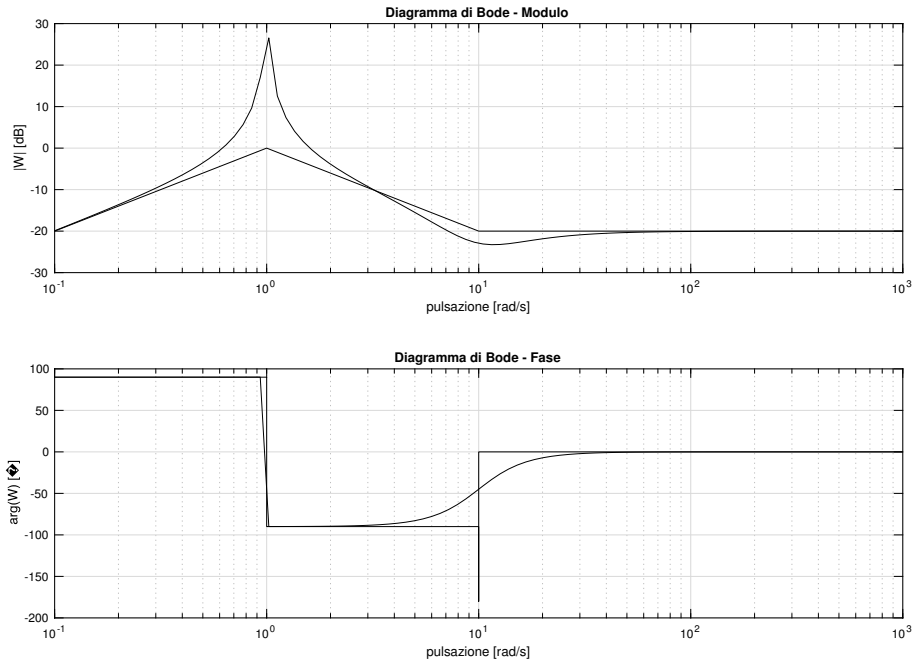
con  $\omega_0 \in \mathbb{R}$  fissato. Assumendo condizioni iniziali arbitrarie, si introducano i concetti di risposta di regime permanente e di risposta transitoria, e si dimostri (operando nel dominio delle trasformate) come sotto opportune ipotesi l'evoluzione complessiva (d'uscita)  $y(t)$  del sistema sia sempre esprimibile come somma delle due.

Si assuma ora che, nelle precedenti ipotesi sul sistema, ad esso venga applicato un ingresso pari a  $u(t) = te^{j\omega_0 t} \delta_{-1}(t)$ . Si spieghi quali proprietà deve avere  $W(s)$  affinché l'uscita forzata a regime sia del tipo  $Ae^{j\omega_0 t}$ , con  $A \neq 0$  costante opportuna.

## SOLUZIONI

**Esercizio 1.** i) Il modulo di Bode arriva da  $-\infty$  con pendenza  $+20$  dB/dec fino a  $0$  dB per  $\omega = 1$  rad/s (dove è presente un picco di risonanza infinito), per poi discendere con pendenza  $-20$  dB/dec fino ad  $\omega = 10$  rad/s, dove il diagramma asintotico diventa piatto (mentre quello reale esibisce un piccolo picco di antirisonanza essendo  $\xi = \frac{1}{2}$ ).

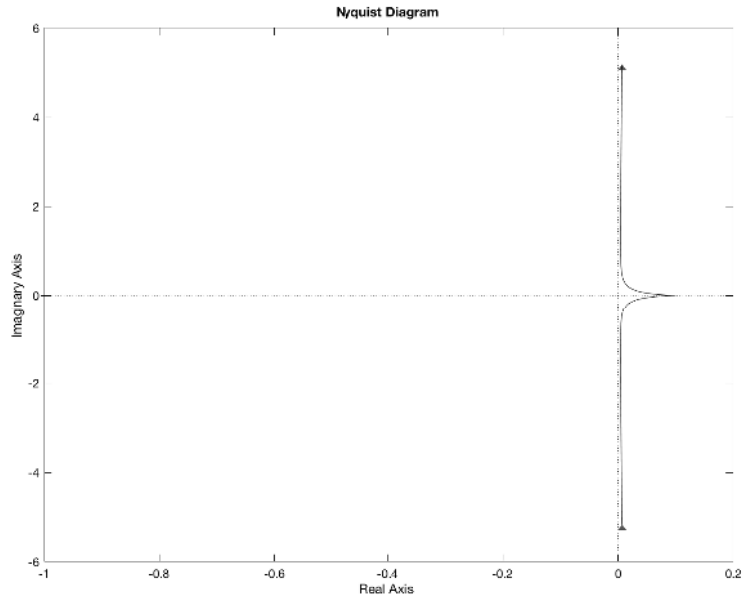
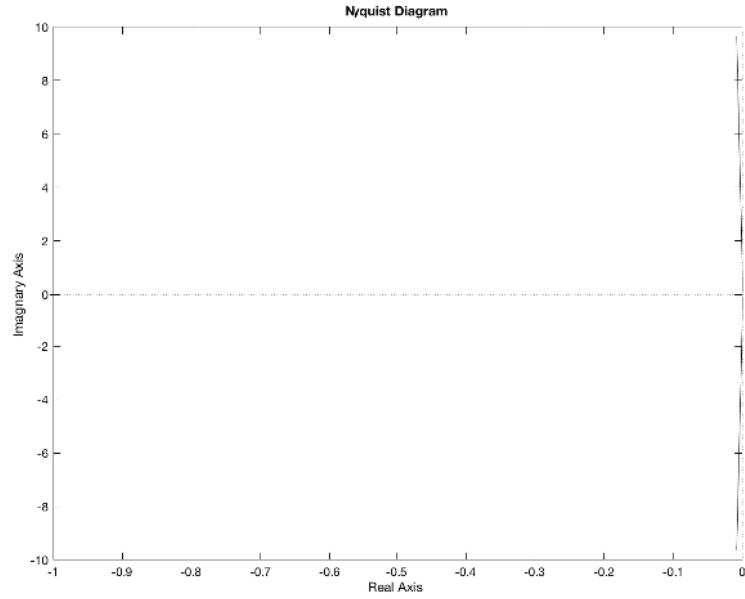
La fase esibisce una discontinuità da  $+90^\circ$  a  $-90^\circ$  in corrispondenza di  $\omega = 1$  rad/s, poi risale a  $0^\circ$  per  $\omega = 10$  rad/s, mentre la fase reale risente maggiormente dell'effetto dei due zeri che del polo, per cui la fase sale leggermente sopra  $+90^\circ$ , poi si ritrova leggermente sopra  $-90^\circ$  e poi risale fino a  $0^\circ$ .



ii) Per quanto concerne il diagramma di Nyquist, esso parte (per  $\omega = 0^+$ ) dal secondo quadrante (parte con tangente verticale dall'origine verso l'alto e va all'infinito in direzione quasi-verticale), per rispuntare nel quarto quadrante e terminare asintoticamente nel punto  $s = \frac{1}{10}$ . Di conseguenza, oltre all'intersezione con gli assi nell'origine per  $\omega = 0$ , non ci aspettiamo altre intersezioni oltre a quella asintoticamente con l'asse reale in  $s = \frac{1}{10}$ . Un'analisi di  $G(j\omega)$  conferma quanto appena detto

$$G(j\omega) = \frac{\omega^4}{10(\omega^2 - 1)(100 + \omega^2)} + j \frac{100\omega}{(1 - \omega^2)(100 + \omega^2)}$$

La parte reale si annulla solo per  $\omega = 0$  (partenza dall'origine, dove si annulla anche la parte immaginaria). La parte immaginaria si annulla anche per  $\omega \rightarrow +\infty$ , mentre quella reale tende ad  $s = \frac{1}{10}$ . Nelle due figure qua sotto viene riportato l'andamento del diagramma di Nyquist prima per  $|\omega| < 1$  e poi per  $|\omega| > 1$ .



iii) Si ha  $n_{G_+} = 0$  e quindi  $n_{W_+} = -N$ . Se ora aggiungiamo i due archi (da  $\omega = -1 - \varepsilon$  a  $\omega = -1 + \varepsilon$ , e da  $\omega = +1 - \varepsilon$  a  $\omega = +1 + \varepsilon$ ) entrambi di  $\pi$  radianti in verso orario per chiudere il diagramma di Nyquist al finito, si hanno i seguenti casi:

$K > 0$	$n_{W_+} = 0$
$0 > K > -10$	$n_{W_+} = 2$
$K = -10$	impropria con 1 polo reale positivo (per continuità coi due casi adiacenti)
$K < -10$	$n_{W_+} = 1$

In conclusione, si ha BIBO stabilità per la  $W(s)$  se e solo se  $K > 0$ .

**Esercizio 2.** Osserviamo preliminarmente che  $n = 4 > 2 = m$  e quindi sia nel luogo positivo che nel luogo negativo ci sono due asintoti. Le direzioni di tali asintoti sono  $\pi/2, 3\pi/2$  nel luogo positivo e  $0, \pi$  nel luogo negativo. Il baricentro della stella di asintoti (rilevante solo nel caso del luogo positivo) è:

$$(x_B, 0), \quad \text{con} \quad x_B = \frac{(1 - 1 - 1 - 2) - (j - j)}{4 - 2} = -\frac{3}{2}.$$

Se considero il luogo positivo noto che appartiene ad esso solo il seguente intervallo dell'asse reale:  $(-2, 1)$ . Invece appartengono al luogo negativo le due semirette  $(-\infty, -2)$  e  $(1, +\infty)$ . Una valutazione preliminare ci porta quindi a dire che nel luogo positivo ci sono due punti doppi sull'asse reale, uno in  $(-2, -1)$  e uno in  $(-1, 1)$ . I due rami uscenti da  $-1$  e  $-2$  si incrociano in qualche punto dell'intervallo  $(-2, -1)$  e poi vanno all'asintoto verticale centrato in  $(-3/2, 0)$ . D'altra parte i due rami che partono da  $-1$  e  $1$  si incrociano in qualche punto (doppio) intermedio e poi vanno ai due zeri in  $\pm j$ . Si tratta di capire se tali rami sono interamente contenuti nel semipiano destro, in quello sinistro o attraversano l'asse immaginario. Per quel che concerne il luogo negativo, invece, abbiamo un ramo sull'asse reale che da  $-2$  va a  $-\infty$ , uno sull'asse reale che va da  $1$  va a  $+\infty$  e due rami che partono dal polo doppio in  $-1$  e raggiungono i due zeri in  $\pm j$ . Anche in questo caso si deve capire se tali rami sono interamente contenuti nel semipiano sinistro o attraversano l'asse immaginario.

La ricerca delle intersezioni con l'asse immaginario conduce a

$$(j\omega - 1)(1 - \omega^2 + j2\omega)(2 + j\omega) + K(1 - \omega^2) = 0 \Rightarrow \begin{cases} -3\omega(1 + \omega^2) = 0 \\ \omega^4 - \omega^2 - 2 + K(1 - \omega^2) = 0 \end{cases}$$

Si vede quindi che l'unica soluzione possibile è  $\omega = 0$  per  $K = 2$ .

Se ora applichiamo la tabella di Routh al polinomio

$$d(s) + Kn(s) = s^4 + 3s^3 + (K + 1)s^2 - 3s + (K - 2)$$

osserviamo preliminarmente che il polinomio ha i coefficienti del termine di grado 4 e 1 di segno opposto per ogni scelta di  $K$ . Pertanto abbiamo ora tutte le risposte che ci servono circa l'andamento rispetto all'asse immaginario dei rami sia del luogo positivo che del luogo negativo.

La tabella di Routh è la seguente:

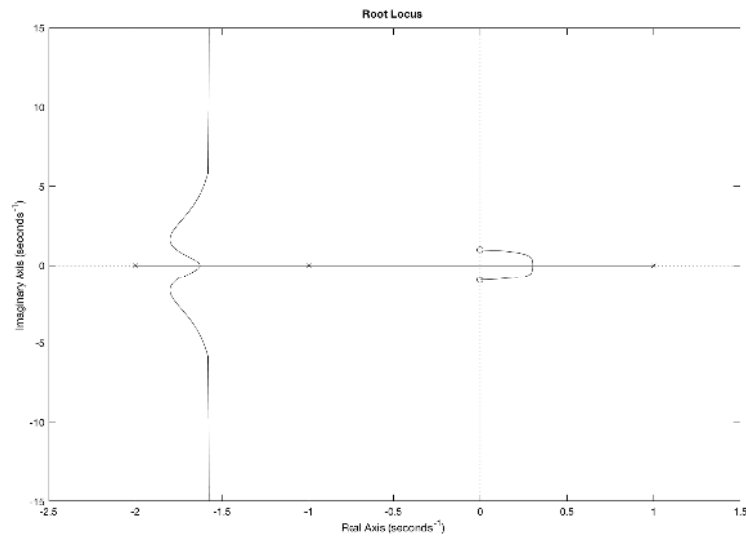
4	1	$K + 1$	$K - 2$
3	3	$-3$	
2	$K + 2$	$K - 2$	
1	$\frac{-6K}{K + 2}$		
0	$K - 2$		

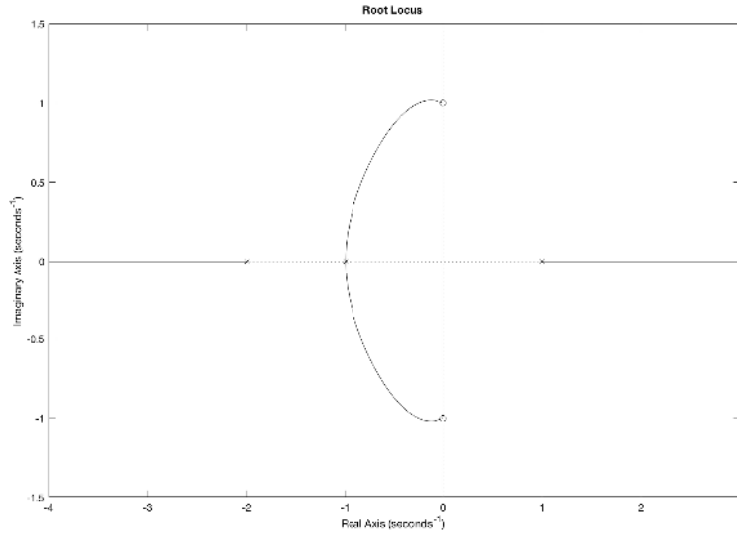
Da questa tabella si vede chiaramente che il polinomio non è mai di Hurwitz. Se valutiamo per quali valori di  $K$  si annullano i termini in prima colonna nelle righe “2”, “1”, e “0”, troviamo  $\{-2, 0, 2\}$ . Se allora valutiamo permanenze e variazioni troviamo nei seguenti intervalli il seguente risultato:

$K < -2$	1 variazione
$-2 < K < 0$	1 variazione
$0 < K < 2$	1 variazione
$K > 2$	2 variazioni

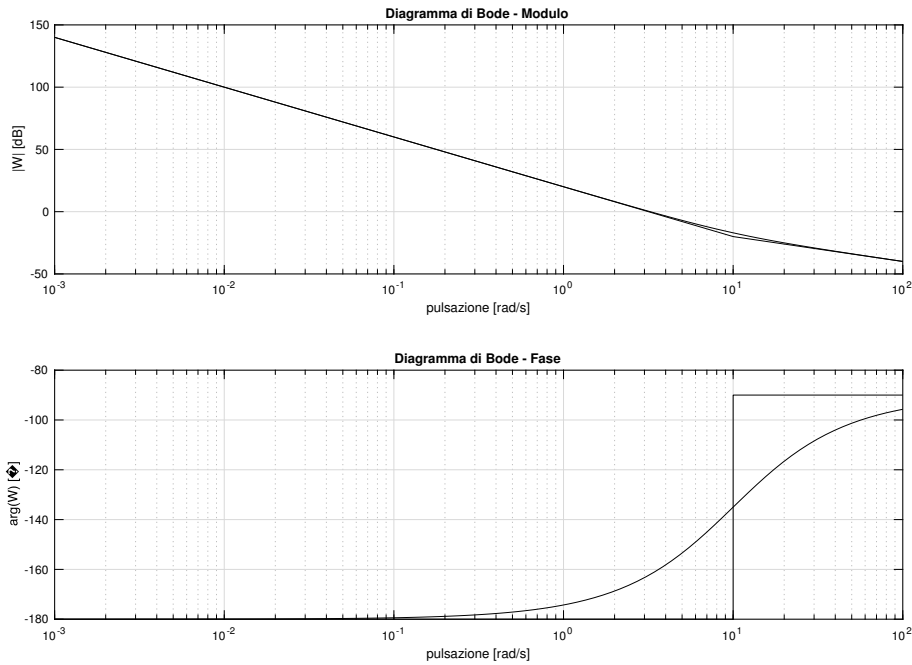
Pertanto il sistema retroazionato ha sempre un polo reale positivo tranne che per  $K > 2$ , situazione in cui ha due poli a parte reale positiva.

I luoghi positivo e negativo sono riportati qui di seguito:





**Esercizio 3.** Per il punto i), è necessario il ricorso a  $C'(s) = \frac{1}{s}$  per il requisito sul tipo mentre l'errore a regime alla rampa parabolica è già a posto; dopodichè si nota che in  $\omega_A^* = 10^0$  rad/s il modulo di  $C'(j\omega)G(j\omega)$  è a +20 dB, mentre la fase è a quasi  $-180^\circ$ .



È necessario quindi il ricorso ad una rete a sella per abbassare il modulo di 20dB, aumentando nel contempo la fase di circa  $+90^\circ$ . Una possibile (tra le infinite) soluzioni è la seguente

$$C''(s) = \frac{1 + 10s}{1 + 10^3s} \frac{1 + 10s}{1 + s/10}$$

che porta al compensatore complessivo

$$C(s) = \frac{(1 + 10s)^2}{s(1 + 10^3s)(1 + s/10)}.$$

Infatti la rete anticipatrice

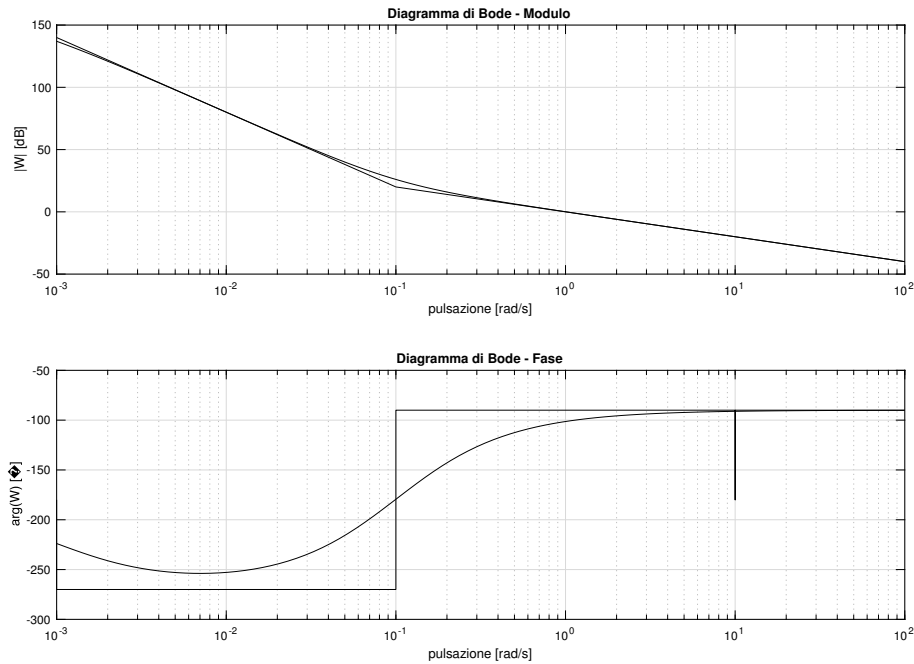
$$C_{ant}(s) = \frac{1 + 10s}{1 + s/10}$$

alza la fase in  $\omega^*$  di  $90^\circ$ , ma al contempo da un contributo di 20 dB al modulo. La rete attenuatrice

$$C_{att}(s) = \frac{1 + 10s}{1 + 10^3s}$$

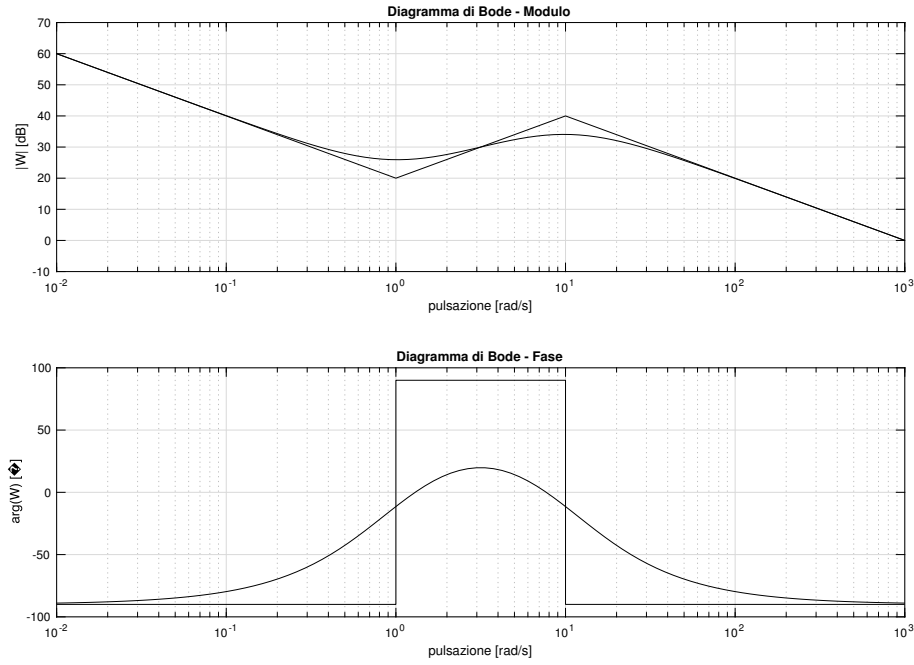
è posizionata prima in modo da dare un contributo nulla alla fase, mentre il polo precedente di due decadi lo zero così da dare un contributo al modulo di  $-40$  dB.

La stabilità BIBO del sistema retroazionato è garantita dal criterio di Bode.



Per il punto ii), è necessario il ricorso a  $C'(s) = \frac{10^3}{s}$  per il requisito sul tipo e sull'errore a regime alla rampa lineare; dopodichè si nota che in  $\omega_A^* = 10^2$  rad/s il modulo di  $C'(j\omega)G(j\omega)$  è a +20 dB, mentre la fase è superiore a  $-90^\circ$ .





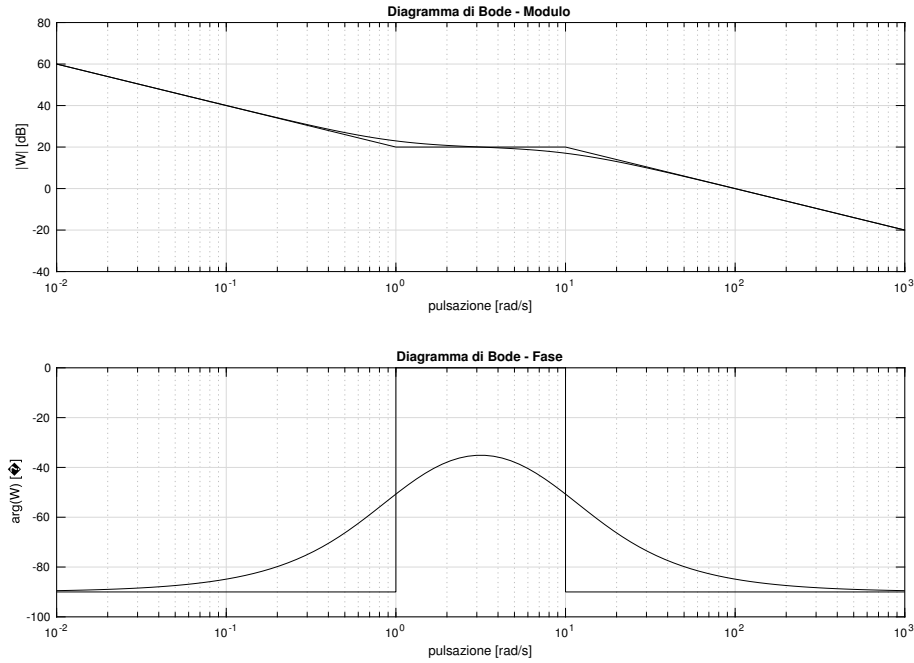
Possiamo allora ricorrere ad una rete attenuatrice che abbassi il modulo di 20 dB e non abbassi sostanzialmente la fase. A tal fine è sufficiente scegliere una rete attenuatrice con un polo in  $-1$  e uno zero in  $-10$ , il che corrisponde a fare una doppia cancellazione ammissibile nella funzione di trasferimento del processo:

$$C''(s) = \frac{1 + s/10}{1 + s}.$$

Il controllore complessivo diventa allora

$$C(s) = \frac{10^3(1 + s/10)}{s(1 + s)}.$$

Il diagramma finale di  $C(s)G(s)$  è il seguente:



La stabilità BIBO del sistema retroazionato è garantita dal criterio di Bode.

**Teoria.** Per la prima parte si consulti il libro di testo a pagina 89 e seguenti. Per quanto concerne la seconda parte, poichè si ha

$$Y_f(s) = W(s) \frac{1}{(s - j\omega_0)^2} = \frac{B}{(s - j\omega_0)^2} + \frac{A}{s - j\omega_0} + \sum_{i,k} \frac{C_{ik}}{(s - \lambda_i)^{k+1}}$$

dove i  $\lambda_i$  sono i poli di  $W(s)$  (a parte reale negativa, per l'ipotesi di BIBO stabilità sulla  $W(s)$ ), e quindi

$$y_f(t) = Bte^{j\omega_0 t} + Ae^{j\omega_0 t} + \sum_{i,k} C_{ik} e^{\lambda_i t} \frac{t^k}{k!},$$

con  $e^{\lambda_i t} \frac{t^k}{k!}$  modi convergenti, è evidente che l'unico modo affinché la risposta a regime sia del tipo  $Ae^{j\omega_0 t}$  è che il coefficiente  $B$  sia nullo, ovvero  $j\omega_0$  sia polo semplice e non doppio di  $Y_f(s)$ . Ciò richiede che  $W(s)$  (oltre ad essere BIBO stabile) presenti uno zero semplice in  $j\omega_0$  e quindi sia della forma

$$W(s) = \frac{(s^2 + \omega_0^2) n(s)}{d(s)}$$

con  $n(s)$  polinomio privo di zeri in  $\pm j\omega_0$  (altrimenti sarebbe  $A = 0$ ) e  $d(s)$  polinomio di Hurwitz.